

SLOPE CORRECTIONS FOR ECHO SOUNDINGS

by

INGÉNIEUR HYDROGRAPHE GÉNÉRAL P. DE VANSSAY DE BLAVOUS, DIRECTOR.

As Admiral NARES has shown in the above article, there are at present three methods of correcting for slope soundings obtained by echo, as these furnish the shortest distance from the bottom.

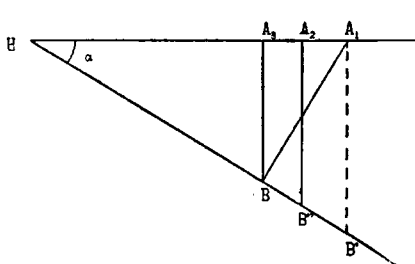
The first applies a *plus* correction to the echo distance obtained, plotting the sounding at the spot where the ship was at the moment of sounding.

The second does not alter the echo distance obtained, but plots the position of the sounding by displacing that of the ship along the normal to the contour line towards the shoaler depths.

The third applies a *minus* correction to the echo distance obtained, and plots the sounding on the vertical through the point on the bottom where the echo was produced, while displacing the ship's position along the normal to the contour line towards the shoaler depths.

The depth shown by the second method will lie between those given by the first and third; the same applies to the positions.

Let A_1 be the position of the ship, and HB the bottom, assumed to be a plane inclined at an angle α . The echo distance is A_1B . The first method plots the value A_1B' at A_1 , by applying to the echo distance the *plus* correction



$$A_1B \left(\frac{I}{\cos \alpha} - 1 \right).$$

The second method plots the value $A_2B'' = A_1B$ at A_2 , by displacing A_1 by the quantity

$$A_1A_2 = A_1B \frac{I - \cos \alpha}{\sin \alpha}.$$

The third method plots the value of A_3B at A_3 , displacing A_1 by the quantity

$$A_1A_3 = A_1B \sin \alpha$$

and applying to the echo distance the *minus* correction

$$A_1B (1 - \cos \alpha).$$

The two first methods have the disadvantage that they assume the slope to be the same between B and B' . All three methods necessitate knowing the angle of slope α .

Comparatively widely-spaced soundings, such as can be taken by lead-line, will only enable us to find the angle of slope if the latter is fairly regu-

lar. We shall obtain a much better result from echo soundings, which are generally very close together. We have shown in Vol. VII, N° 2, pp. 52 et seq. of the *Hydrographic Review* that by first plotting these soundings without any slope correction and tracing the contour lines resulting therefrom, we can for each sounding deduce from these depth lines a value β of the angle of slope, linked to the angle α by the relation

$$\tan \beta = \sin \alpha$$

It will be easy then to deduce the exact value of α from the knowledge of this value β , which differs a little from it, especially if the slope is fairly steep.

The appended diagrams give, at sight, the value of the coefficient by which the echo depth A_1B must be multiplied to obtain in the same units the correction applicable either to this depth or to the ship's position.

Diagram N° 1 is for use with the first method. We enter the vertical scale on the left with the figure denoting the difference, in metres or fathoms, in the value of two consecutive contour lines which include the sounding to be corrected; we follow the horizontal line from this figure as far as its intersection with the vertical line representing the distance between the two contour lines, measured along a normal to these lines passing through the sounding, reading the distance in metres or cables on the upper horizontal scale. We then take that one already marked or interpolated of the group of converging lines which passes through the point thus obtained, and follow it to its intersection with the right-hand or the lower edge of the diagram. At this point of intersection (interpolating if necessary) we read the value of the desired coefficient, using the inner scale of the border if the contour lines originated in soundings uncorrected for slope, otherwise the outer scale of the border.

The coefficient, multiplied by the echo depth, gives the quantity to be added to this depth to obtain a sounding corrected for slope, which will be plotted at the position of the sounding ship.

Diagram N° 2 is for use with the second method. It is used in exactly the same way as N° 1. The product of the coefficient obtained and the echo depth gives the displacement (in metres or fathoms according to the unit in use) which the ship's position must undergo normally to the contour lines and towards the lesser depths, before plotting the sounding equal to the echo depth in the position thus found.

Diagram N° 3 is for use with the third method. Its use is again as before; but there are two coefficients to be determined. The first, read on the outer border, multiplied by the echo depth gives the quantity which must be subtracted from this depth to obtain a sounding corrected for slope. The other, read off the other border situated inside the first one, multiplied by the echo depth gives the displacement (in metres or fathoms) to be applied to the ship's position, normally to the contour lines and towards the lesser depths, before plotting the sounding there as just corrected for slope.

DIAGRAM N° 1

(1ère méthode : facteur pour correction additive de la sonde)

| facteur factor | y_1 millimètres | facteur factor | y_1 millimètres | x_1 millimètres | facteur factor | y_1 millimètres | x_1 millimètres | facteur factor | y_1 millimètres | x_1 millimètres |
|----------------|-------------------|----------------|-------------------|-------------------|----------------|-------------------|-------------------|----------------|-------------------|-------------------|
| 0,00001 | 14,1 | 14,1 | 0,0260 | 223,5 | 223,7 | 0,1200 | 396,5 | 0,0010 | 2,0 | 2,0 |
| 0,00002 | 20,0 | 20,0 | 0,0200 | 239,3 | 231,8 | 0,1250 | 388,0 | 0,0100 | 20,0 | 20,0 |
| 3 | 24,5 | 24,5 | 0,0200 | 244,8 | 259,6 | 0,1500 | 380,0 | 0,0200 | 40,0 | 40,0 |
| 4 | 28,3 | 28,3 | 0,0200 | 232,0 | 255,0 | 0,1400 | 365,4 | 0,0300 | 60,1 | 60,0 |
| 5 | 31,6 | 31,6 | 0,0200 | 240,0 | 263,0 | 0,1500 | 352,2 | 0,0400 | 80,1 | 80,0 |
| 6 | 34,6 | 34,6 | 0,0200 | 270,7 | 261,3 | 0,1600 | 340,2 | 0,0500 | 100,3 | 99,8 |
| 7 | 37,4 | 37,4 | 0,0200 | 280,3 | 278,3 | 0,1700 | 329,5 | 0,0600 | 120,4 | 119,6 |
| 8 | 40,0 | 40,0 | 0,0200 | 285,7 | 274,7 | 0,1800 | 319,3 | 0,0700 | 140,7 | 139,5 |
| 9 | 42,4 | 42,4 | 0,0200 | 303,4 | 290,3 | 0,1900 | 310,0 | 0,0800 | 161,0 | 159,0 |
| 0,00100 | 44,7 | 44,7 | 0,0200 | 320,2 | 305,0 | 0,2000 | 301,5 | 0,0900 | 181,5 | 178,6 |
| 11 | 46,9 | 46,9 | 0,0200 | 293,6 | 318,7 | 0,2100 | 293,6 | 0,0900 | 202,0 | 198,0 |
| 15 | 54,8 | 54,8 | 0,0200 | 351,6 | 331,7 | 0,2200 | 286,2 | 0,1100 | 222,7 | 217,4 |
| 20 | 63,3 | 63,2 | 0,0200 | 366,4 | 344,0 | 0,2300 | 279,5 | 0,1200 | 243,5 | 236,6 |
| 25 | 70,6 | 70,6 | 0,0200 | 380,7 | 355,8 | 0,2400 | 272,8 | 0,1300 | 264,5 | 255,7 |
| 30 | 77,5 | 77,3 | 0,0200 | 394,5 | 367,0 | 0,2500 | 266,7 | 0,1400 | 285,6 | 274,6 |
| 40 | 89,5 | 89,1 | 0,0200 | 407,9 | 377,7 | 0,2600 | 260,9 | 0,1500 | 306,9 | 293,4 |
| 50 | 100,1 | 99,6 | 0,0200 | 421,0 | 386,0 | 0,2700 | 255,5 | 0,1600 | 328,4 | 312,0 |
| 60 | 109,7 | 109,0 | 0,0200 | 435,7 | 397,9 | 0,2800 | 250,3 | 0,1700 | 330,45 | 320,1 |
| 70 | 118,5 | 117,7 | 0,0200 | 446,1 | 407,4 | 0,2900 | 245,4 | 0,1800 | 328,7 | 316,6 |
| 80 | 126,75 | 125,7 | 0,1000 | 458,5 | 416,6 | 0,3000 | 240,8 | 0,1900 | 394,2 | 366,8 |
| 90 | 134,5 | 133,3 | 0,1050 | 470,1 | 426,4 | 0,3200 | 232,1 | 0,2000 | 416,7 | 384,6 |
| 0,0100 | 141,8 | 140,4 | 1,100 | 481,8 | 434,1 | 0,3400 | 224,2 | 0,2100 | 439,4 | 402,3 |
| 0,0110 | 148,7 | 147,1 | 1,150 | 493,2 | 442,5 | 0,3600 | 217,0 | 0,2200 | 462,4 | 419,7 |
| 120 | 155,4 | 153,6 | 1,200 | 504,4 | 450,4 | 0,3800 | 210,3 | 0,2300 | 485,7 | 456,9 |
| 140 | 167,9 | 165,6 | 1,250 | 515,4 | 459,1 | 0,4000 | 204,1 | 0,2350 | 497,5 | 470,6 |
| 160 | 179,6 | 176,8 | 1,300 | 526,2 | 465,7 | 0,4200 | 198,4 | 0,2400 | 509,3 | 487,1 |
| 180 | 190,6 | 187,2 | 1,400 | 547,4 | 480,2 | 0,4500 | 190,5 | 0,2500 | 503,3 | 487,1 |
| 200 | 201,0 | 197,1 | 1,500 | 567,9 | 493,8 | 0,4800 | 183,3 | 0,2600 | 503,3 | 487,1 |
| 220 | 210,9 | 206,4 | 0,1600 | 587,9 | 506,8 | 0,5600 | 178,9 | 0,2700 | 261,8 | 250,3 |

DIAGRAM N° 2

(2ème méthode : facteur pour déplacement de la sonde vers les fonds décroissants)

| facteur factor | y_1 millimètres | facteur factor | y_1 millimètres | x_1 millimètres | facteur factor | y_1 millimètres | x_1 millimètres | facteur factor | y_1 millimètres | x_1 millimètres |
|----------------|-------------------|----------------|-------------------|-------------------|----------------|-------------------|-------------------|----------------|-------------------|-------------------|
| 0,00001 | 223,7 | 0,1200 | 396,5 | 0,0010 | 2,0 | 0,2350 | 408,0 | 0,3500 | 217,4 | 296,4 |
| 0,00002 | 231,8 | 0,1250 | 388,0 | 0,0100 | 20,0 | 0,2400 | 392,7 | 0,4000 | 210,0 | 290,0 |
| 3 | 239,6 | 0,1500 | 380,0 | 0,0200 | 40,0 | 0,2450 | 385,7 | 0,4100 | 202,9 | 284,9 |
| 4 | 247,1 | 0,1400 | 365,4 | 0,0300 | 60,1 | 0,2500 | 375,0 | 0,4200 | 196,1 | 280,1 |
| 5 | 254,4 | 0,1500 | 352,2 | 0,0400 | 80,1 | 0,2550 | 366,7 | 0,4300 | 189,6 | 275,6 |
| 6 | 261,3 | 0,1600 | 340,2 | 0,0500 | 100,3 | 0,2600 | 358,6 | 0,4400 | 185,3 | 271,3 |
| 7 | 268,1 | 0,1700 | 329,5 | 0,0600 | 120,4 | 0,2650 | 350,9 | 0,4500 | 177,2 | 267,2 |
| 8 | 274,7 | 0,1800 | 319,3 | 0,0700 | 140,7 | 0,2700 | 343,4 | 0,4600 | 171,4 | 263,4 |
| 9 | 290,3 | 0,1900 | 310,0 | 0,0800 | 161,0 | 0,2750 | 336,1 | 0,4700 | 165,8 | 259,8 |
| 0,00100 | 301,5 | 0,2000 | 305,0 | 0,0900 | 181,5 | 0,2800 | 329,1 | 0,4800 | 160,5 | 256,3 |
| 11 | 318,7 | 0,2100 | 293,6 | 0,1000 | 202,0 | 0,2850 | 322,4 | 0,4900 | 155,1 | 253,1 |
| 15 | 331,7 | 0,2200 | 286,2 | 0,1100 | 222,7 | 0,2900 | 315,6 | 0,5000 | 150,0 | 250,0 |
| 20 | 344,0 | 0,2300 | 279,5 | 0,1200 | 242,7 | 0,2950 | 309,6 | 0,5200 | 140,3 | 244,3 |
| 25 | 355,8 | 0,2400 | 272,8 | 0,1300 | 264,5 | 0,3000 | 303,3 | 0,5400 | 131,2 | 239,2 |
| 30 | 367,0 | 0,2500 | 266,7 | 0,1400 | 285,6 | 0,3100 | 291,6 | 0,5500 | 126,8 | 236,8 |

DIAGRAM N° 2

(2nd method : factor for displacing the sounding towards decreasing depths)

ANNEXE N° 3 (3ème méthode)

DIAGRAM N° 3 (3rd method)

1°) facteur pour correction négative de la sonde
factor for obtaining correction to be subtracted from the sounding

| facteur factor | y_1 millimètres | y_2 millimètres | y_3 millimètres | x_1 millimètres | x_2 millimètres | facteur factor | y_1 millimètres | y_2 millimètres | y_3 millimètres | x_1 millimètres | x_2 millimètres |
|----------------|-------------------|-------------------|-------------------|-------------------|-------------------|----------------|-------------------|-------------------|-------------------|-------------------|-------------------|
| 0,00001 | 14,1 | 14,1 | 0,0220 | 213,3 | 208,6 | 0,1100 | 390,4 | 390,4 | 0,95 | 0,4600 | 370,6 |
| 2 | 20,0 | 20,0 | 0,240 | 223,1 | 217,8 | 0,1150 | 380,2 | 380,2 | 9,5 | 0,4700 | 360,6 |
| 3 | 24,5 | 24,5 | 0,260 | 232,6 | 226,5 | 0,1200 | 370,6 | 370,6 | 19,0 | 0,4800 | 350,9 |
| 4 | 28,3 | 28,3 | 0,280 | 241,8 | 235,0 | 0,1250 | 361,5 | 361,5 | 38,0 | 0,4900 | 341,6 |
| 5 | 31,6 | 31,6 | 0,300 | 250,6 | 243,1 | 0,1300 | 352,9 | 352,9 | 57,1 | 0,4900 | 341,6 |
| 6 | 34,6 | 34,6 | 0,320 | 259,2 | 251,0 | 0,1350 | 344,8 | 344,8 | 76,2 | 0,4900 | 341,6 |
| 7 | 37,4 | 37,4 | 0,340 | 267,6 | 258,5 | 0,1400 | 337,0 | 337,0 | 95,5 | 0,4900 | 341,6 |
| 8 | 40,0 | 40,0 | 0,360 | 275,8 | 265,9 | 0,1450 | 329,7 | 329,7 | 114,0 | 0,4900 | 341,6 |
| 9 | 42,4 | 42,4 | 0,380 | 283,6 | 273,0 | 0,1500 | 322,7 | 322,7 | 133,0 | 0,4900 | 341,6 |
| 0,0010 | 44,8 | 44,7 | 0,400 | 291,7 | 280,9 | 0,1550 | 316,0 | 316,0 | 152,0 | 0,4900 | 341,6 |
| 11 | 46,9 | 46,9 | 0,450 | 310,6 | 296,6 | 0,1600 | 309,6 | 309,6 | 173,8 | 0,4900 | 341,6 |
| 15 | 54,8 | 54,8 | 0,500 | 328,7 | 312,2 | 0,1650 | 303,5 | 303,5 | 193,9 | 0,4900 | 341,6 |
| 20 | 63,1 | 63,2 | 0,550 | 346,1 | 327,1 | 0,1700 | 297,6 | 297,6 | 214,3 | 0,4900 | 341,6 |
| 25 | 70,3 | 70,7 | 0,600 | 363,0 | 341,2 | 0,1750 | 292,0 | 292,0 | 209,0 | 0,4900 | 341,6 |
| 30 | 77,6 | 77,4 | 0,650 | 379,5 | 354,6 | 0,1800 | 286,5 | 286,5 | 228,0 | 0,4900 | 341,6 |
| 40 | 89,7 | 89,4 | 0,700 | 395,2 | 367,6 | 0,1850 | 281,3 | 281,3 | 247,0 | 0,4900 | 341,6 |
| 50 | 100,4 | 99,9 | 0,750 | 410,8 | 380,0 | 0,1900 | 276,2 | 276,2 | 266,0 | 0,4900 | 341,6 |
| 60 | 110,0 | 109,4 | 0,800 | 426,0 | 391,9 | 0,1950 | 271,4 | 271,4 | 285,0 | 0,4900 | 341,6 |
| 70 | 118,9 | 118,1 | 0,850 | 440,9 | 403,5 | 0,2000 | 266,7 | 266,7 | 304,0 | 0,4900 | 341,6 |
| 80 | 127,3 | 126,2 | 0,900 | 455,6 | 414,6 | 0,2100 | 257,8 | 257,8 | 323,5 | 0,4900 | 341,6 |
| 0,0090 | 133,1 | 133,9 | 0,050 | 470,1 | 425,4 | 0,2200 | 249,3 | 249,3 | 342,0 | 0,4900 | 341,6 |
| 0,0100 | 142,5 | 141,1 | 0,1000 | 484,3 | 435,9 | 0,2300 | 241,4 | 241,4 | 361,5 | 0,4900 | 341,6 |
| 110 | 149,6 | 147,9 | 0,1050 | 498,4 | 446,1 | 0,2400 | 233,9 | 233,9 | 307,7 | 0,4900 | 341,6 |
| 120 | 156,3 | 154,5 | 0,1100 | 512,3 | 456,0 | 0,2500 | 226,8 | 226,8 | 307,7 | 0,4900 | 341,6 |
| 130 | 162,8 | 160,7 | 0,1150 | 465,6 | 426,0 | 0,2600 | 220,0 | 220,0 | 307,7 | 0,4900 | 341,6 |
| 140 | 169,1 | 166,7 | 0,1200 | 475,0 | 427,0 | 0,2700 | 213,6 | 213,6 | 292,1 | 0,4900 | 341,6 |
| 150 | 175,2 | 172,6 | 0,1250 | 484,1 | 428,0 | 0,2800 | 207,5 | 207,5 | 288,2 | 0,4900 | 341,6 |
| 160 | 181,1 | 178,2 | 0,1300 | 493,1 | 429,0 | 0,2900 | 201,7 | 201,7 | 284,1 | 0,4900 | 341,6 |
| 180 | 192,3 | 188,9 | 0,1350 | 501,8 | 430,0 | 0,3000 | 196,1 | 196,1 | 280,1 | 0,4900 | 341,6 |
| 200 | 203,1 | 199,0 | | | | 0,3100 | 190,3 | 190,3 | 276,3 | 0,4900 | 341,6 |

ANNEXE N° 3 (3ème méthode)
DIAGRAM N° 3 (3rd method)

2°) facteur pour déplacer la sonde vers les fonds décroissants
factor for displacing the sounding towards decreasing depths

| facteur factor | y_1 millimètres | y_2 millimètres | y_3 millimètres | x_1 millimètres | x_2 millimètres | facteur factor | y_1 millimètres | y_2 millimètres | y_3 millimètres | x_1 millimètres | x_2 millimètres |
|----------------|-------------------|-------------------|-------------------|-------------------|-------------------|----------------|-------------------|-------------------|-------------------|-------------------|-------------------|
| 0,0010 | 14,1 | 14,1 | 0,0220 | 213,3 | 208,6 | 0,1100 | 390,4 | 390,4 | 0,95 | 0,3800 | 390,3 |
| 2 | 20,0 | 20,0 | 0,240 | 223,1 | 217,8 | 0,1150 | 380,2 | 380,2 | 9,5 | 0,4000 | 414,6 |
| 3 | 24,5 | 24,5 | 0,260 | 232,6 | 226,5 | 0,1200 | 370,6 | 370,6 | 19,0 | 0,4100 | 427,0 |
| 4 | 28,3 | 28,3 | 0,280 | 241,8 | 235,0 | 0,1250 | 361,5 | 361,5 | 38,0 | 0,4200 | 439,6 |
| 5 | 31,6 | 31,6 | 0,300 | 250,6 | 243,1 | 0,1300 | 352,9 | 352,9 | 57,1 | 0,4300 | 452,4 |
| 6 | 34,6 | 34,6 | 0,320 | 259,2 | 251,0 | 0,1350 | 344,8 | 344,8 | 76,2 | 0,4400 | 465,5 |
| 7 | 37,4 | 37,4 | 0,340 | 267,6 | 258,5 | 0,1400 | 337,0 | 337,0 | 95,5 | 0,4500 | 478,7 |
| 8 | 40,0 | 40,0 | 0,360 | 275,8 | 265,9 | 0,1450 | 329,7 | 329,7 | 114,0 | 0,4600 | 492,2 |
| 9 | 42,4 | 42,4 | 0,380 | 283,6 | 273,0 | 0,1500 | 322,7 | 322,7 | 133,0 | 0,4700 | 505,8 |
| 0,0010 | 44,8 | 44,7 | 0,400 | 291,7 | 280,9 | 0,1550 | 316,0 | 316,0 | 152,0 | 0,4800 | 446,5 |
| 11 | 46,9 | 46,9 | 0,450 | 310,6 | 296,6 | 0,1600 | 309,6 | 309,6 | 173,8 | 0,4900 | 456,0 |
| 15 | 54,8 | 54,8 | 0,500 | 328,7 | 312,2 | 0,1650 | 303,5 | 303,5 | 193,9 | 0,4900 | 465,5 |
| 20 | 63,1 | 63,2 | 0,550 | 346,1 | 327,1 | 0,1700 | 297,6 | 297,6 | 214,3 | 0,4900 | 475,0 |
| 25 | 70,3 | 70,7 | 0,600 | 363,0 | 341,2 | 0,1750 | 292,0 | 292,0 | 209,0 | 0,4900 | 484,5 |
| 30 | 77,6 | 77,4 | 0,650 | 379,5 | 354,6 | 0,1800 | 286,5 | 286,5 | 228,0 | 0,4900 | 494,0 |
| 40 | 89,7 | 89,4 | 0,700 | 395,2 | 367,6 | 0,1850 | 281,3 | 281,3 | 247,0 | 0,4900 | 503,5 |
| 50 | 100,4 | 99,9 | 0,750 | 410,8 | 380,0 | 0,1900 | 276,2 | 276,2 | 266,0 | 0,4900 | 503,5 |
| 60 | 110,0 | 109,4 | 0,800 | 426,0 | 391,9 | 0,1950 | 271,4 | 271,4 | 285,0 | 0,4900 | 503,5 |
| 70 | 118,9 | 118,1 | 0,850 | 440,9 | 403,5 | 0,2000 | 266,7 | 266,7 | 304,0 | 0,4900 | 503,5 |
| 80 | 127,3 | 126,2 | 0,900 | 455,6 | 414,6 | 0,2100 | 257,8 | 257,8 | 323,5 | 0,4900 | 503,5 |
| 0,0090 | 133,1 | 133,9 | 0,050 | 470,1 | 425,4 | 0,2200 | 249,3 | 249,3 | 342,0 | 0,4900 | 503,5 |
| 0,0100 | 142,5 | 141,1 | 0,1000 | 484,3 | 435,9 | 0,2300 | 241,4 | 241,4 | 361,5 | 0,4900 | 503,5 |
| 110 | 149,6 | 147,9 | 0,1050 | 498,4 | 446,1 | 0,2400 | 233,9 | 233,9 | 307,7 | 0,4900 | 503,5 |
| 120 | 156,3 | 154,5 | 0,1100 | 512,3 | 456,0 | 0,2500 | 226,8 | 226,8 | 307,7 | 0,4900 | 503,5 |
| 130 | 162,8 | 160,7 | 0,1150 | 465,6 | 426,0 | 0,2600 | 220,0 | 220,0 | 307,7 | 0,4900 | 503,5 |
| 140 | 169,1 | 166,7 | 0,1200 | 475,0 | 427,0 | 0,2700 | 213,6 | 213,6 | 292,1 | 0,4900 | 503,5 |
| 150 | 175,2 | 172,6 | 0,1250 | 484,1 | 428,0 | 0,2800 | 207,5 | 207,5 | 288,2 | 0,4900 | 503,5 |
| 160 | 181,1 | 178,2 | 0,1300 | 493,1 | 429,0 | 0,2900 | 201,7 | 201,7 | 284,1 | 0,4900 | 503,5 |
| 180 | 192,3 | 188,9 | 0,1350 | 501,8 | 430,0 | 0,3000 | 196,1 | 196,1 | 280,1 | 0,4900 | 503,5 |
| 200 | 203,1 | 199,0 | | | | 0,3100 | 190,3 | 190,3 | 276,3 | 0,4900 | 503,5 |

ANNEXE N° 3 (3ème méthode)
DIAGRAM N° 3 (3rd method)

2°) facteur pour déplacer la sonde vers les fonds décroissants
factor for displacing the sounding towards decreasing depths

| facteur factor | y_1 millimètres | y_2 millimètres | y_3 millimètres | x_1 millimètres | x_2 millimètres | facteur factor | y_1 millimètres | y_2 millimètres | y_3 millimètres | x_1 millimètres | x_2 millimètres |
|----------------|-------------------|-------------------|-------------------|-------------------|-------------------|----------------|-------------------|-------------------|-------------------|-------------------|-------------------|
| 0,0010 | 14,1 | 14,1 | 0,0220 | 213,3 | 208,6 | 0,1100 | 390,4 | 390,4 | 0,95 | 0,3800 | 390,3 |
| 2 | 20,0 | 20,0 | 0,240 | 223,1 | 217,8 | 0,1150 | 380,2 | 380,2 | 9,5 | 0,4000 | 414,6 |
| 3 | 24,5 | 24,5 | 0,260 | 232,6 | 226,5 | 0,1200 | 370,6 | 370,6 | 19,0 | 0,4100 | 427,0 |
| 4 | 28,3 | 28,3 | 0,280 | 241,8 | 235,0 | 0,1250 | 361,5 | 361,5 | 38,0 | 0,4200 | 439,6 |
| 5 | 31,6 | 31,6 | 0,300 | 250,6 | 243,1 | 0,1300 | 352,9 | 352,9 | 57,1 | 0,4300 | 452,4 |
| 6 | 34,6 | 34,6 | 0,320 | 259,2 | 251,0 | 0,1350 | 344,8 | 344,8 | 76,2 | 0,4400 | 465,5 |
| 7 | 37,4 | 37,4 | 0,340 | 267,6 | 258,5 | 0,1400 | 337,0 | 337,0 | 95,5 | 0,4500 | 478,7 |
| 8 | 40,0 | 40,0 | 0,360 | 275,8 | 265,9 | 0,1450 | 329,7 | 329,7 | 114,0 | 0,4600 | 492,2 |
| 9 | 42,4 | 42,4 | 0,380 | 283,6 | 273,0 | 0,1500 | 322,7 | 322,7 | 133,0 | 0,4700 | 505,8 |
| 0,0010 | 44,8 | 44,7 | 0,400 | 291,7 | 280,9 | 0,1550 | 316,0 | 316,0 | 152,0 | 0,4800 | 519,3 |
| 11 | 46,9 | 46,9 | 0,450 | 310,6 | 296,6 | 0,1600 | 309,6 | 309,6 | 173,8 | 0,4900 | 539,1 |
| 15 | 54,8 | 54,8 | 0,500 | 328,7 | 312,2 | 0,1650 | 303,5 | 303,5 | 193,9 | 0,4900 | 542,9 |
| 20 | 63,1 | 63,2 | 0,550 | 346,1 | 327,1 | 0,1700 | 297,6 | 297,6 | 214,3 | 0,4900 | 536,8 |
| 25 | 70,3 | 70,7 | 0,600 | 363,0 | 341,2 | 0,1750 | 292,0 | 292,0 | 209,0 | 0,4900 | 531,0 |
| 30 | 77,6 | 77,4 | 0,650 | 379,5 | 354,6 | 0,1800 | 286,5 | 286,5 | 228,0 | 0,4900 | 535,6 |
| 40 | 89,7 | 89,4 | 0,700 | 395,2 | 367,6 | 0,1850 | 281,3 | 281,3 | 247,0 | 0,4900 | 549,1 |
| 50 | 100,4 | 99,9 | 0,750 | 410,8 | 380,0 | 0,1900 | 276,2 | 276,2 | 266,0 | 0,4900 | 542,9 |
| 60 | 110,0 | 109,4 | 0,800 | 426,0 | 391,9 | 0,1950 | 271,4 | 271,4 | 285,0 | 0,4900 | 546,7 |
| 70 | 118,9 | 118,1 | 0,850 | 440,9 | 403,5 | 0,2000 | 266,7 | 266,7 | 304,0 | 0,4900 | 550,7 |
| 80 | 127,3 | 126,2 | 0,900 | 455,6 | 414,6 | 0,2100 | 257,8 | 257,8 | 323,5 | 0,4900 | 554,7 |
| 0,0090 | 133,1 | 133,9 | 0,050 | 470,1 | 425,4 | 0,2200 | 249,3 | 249,3 | 342,0 | 0,4900 | 554,7 |
| 0,0100 | 142,5 | 141,1 | 0,1000 | 484,3 | 435,9 | 0,2300 | 241,4 | 241,4 | 361,5 | 0,4900 | 554,7 |
| 110 | 149,6 | 147,9 | 0,1050 | 498,4 | 446,1 | 0,2400 | 233,9 | 233,9 | 307,7 | 0,4900 | 554,7 |
| 120 | 156,3 | 154,5 | 0,1100 | 512,3 | 456,0 | 0,2500 | 226,8 | 226,8 | 307,7 | 0,4900 | 554,7 |
| 130 | 162,8 | 160,7 | 0,115 | | | | | | | | |

ECHO SOUNDING. — Slope Correction.

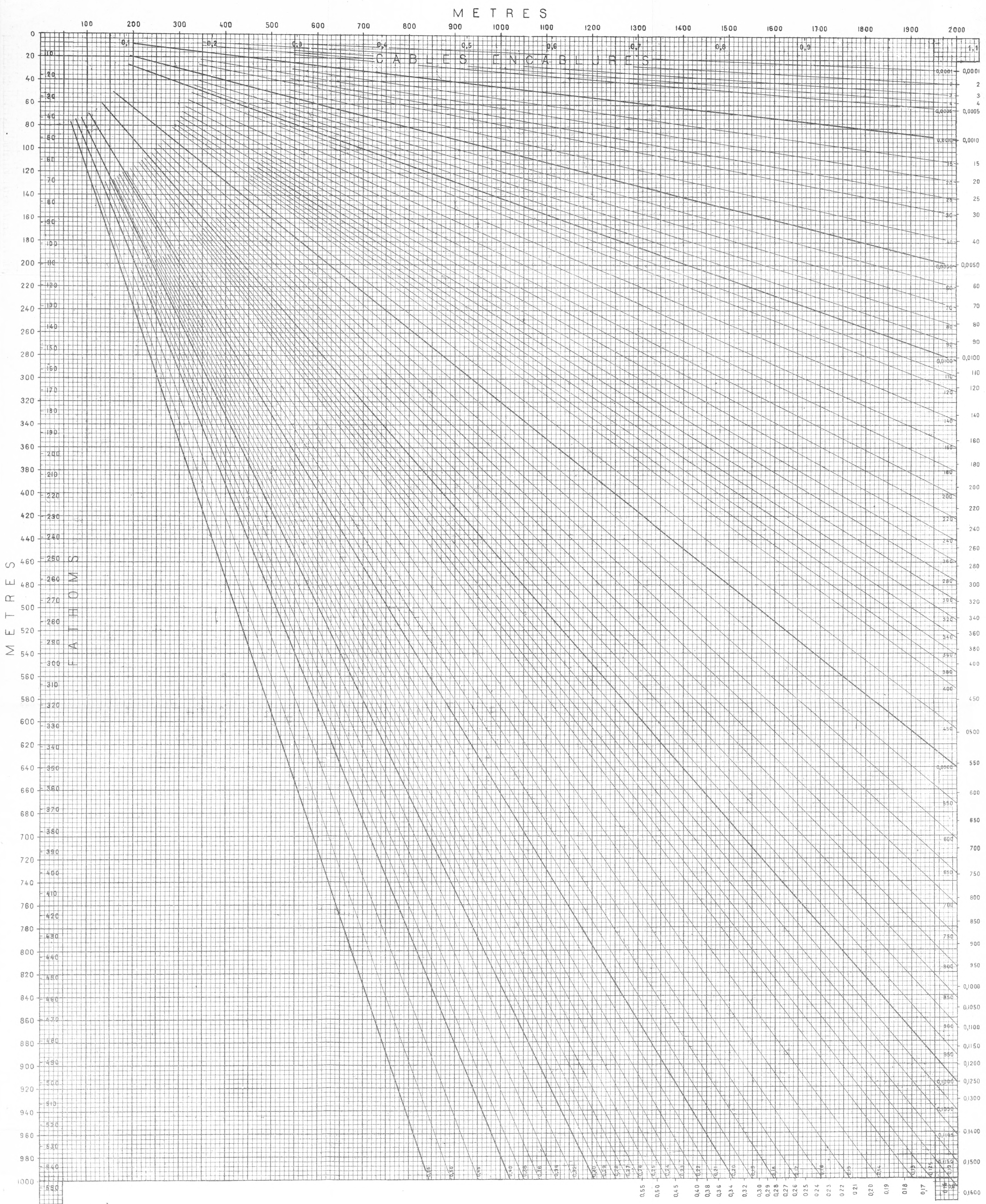
DIAGRAM N° 1. (1st method : Factor for obtaining the correction to be added to the sounding.)

[Outer factor for true slope ; inner factor for a slope deduced from uncorrected echo soundings.]

SONDAGES par le SON. — Correction de Pente.

ABAQUE N° 1. (1^{re} méthode : Facteur pour correction additive de la sonde.)

[Facteur extérieur pour une pente vraie ; facteur intérieur pour une pente déduite de sondages par le son non corrigés.]



ECHO SOUNDING. — Slope Correction.

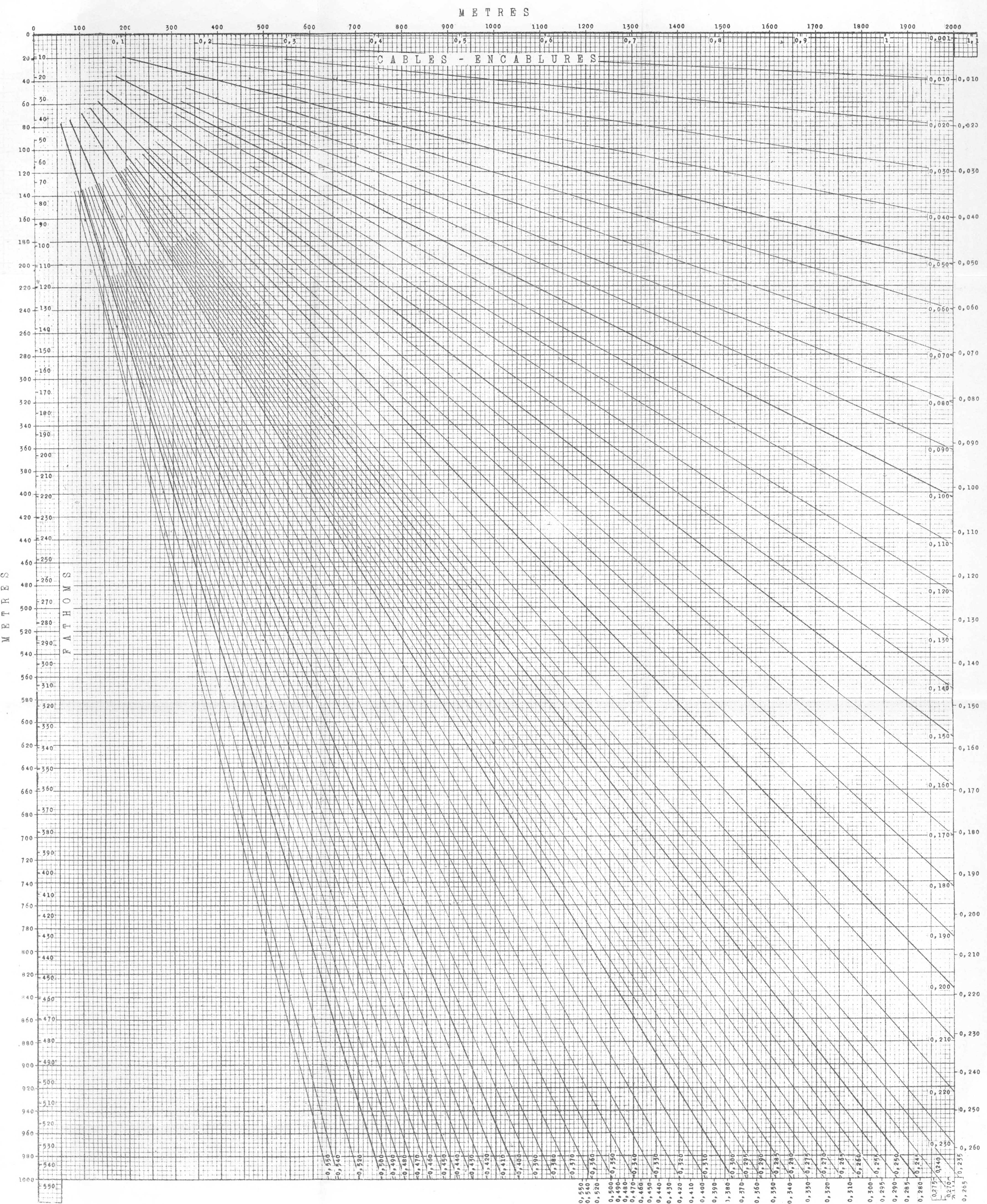
SONDAGES par le SON. — Correction de Pente.

DIAGRAM N° 2. (2nd method : Factor for displacing the sounding towards decreasing depths.)

[Outer factor for true slope ; inner factor for a slope deduced from uncorrected echo soundings.]

ABAQUE N° 2. (2^{me} méthode : Facteur pour déplacer la sonde vers les fonds décroissants.)

[Facteur extérieur pour une pente vraie ; facteur intérieur pour une pente déduite de sondages par le son non corrigés.]



ECHO SOUNDING. — Slope Correction.

DIAGRAM N° 3. (3rd method :)

1^o) Outer scale : Factor for obtaining correction to be subtracted from the sounding.
2^o) Inner scale : Factor for displacing the sounding towards decreasing depths.

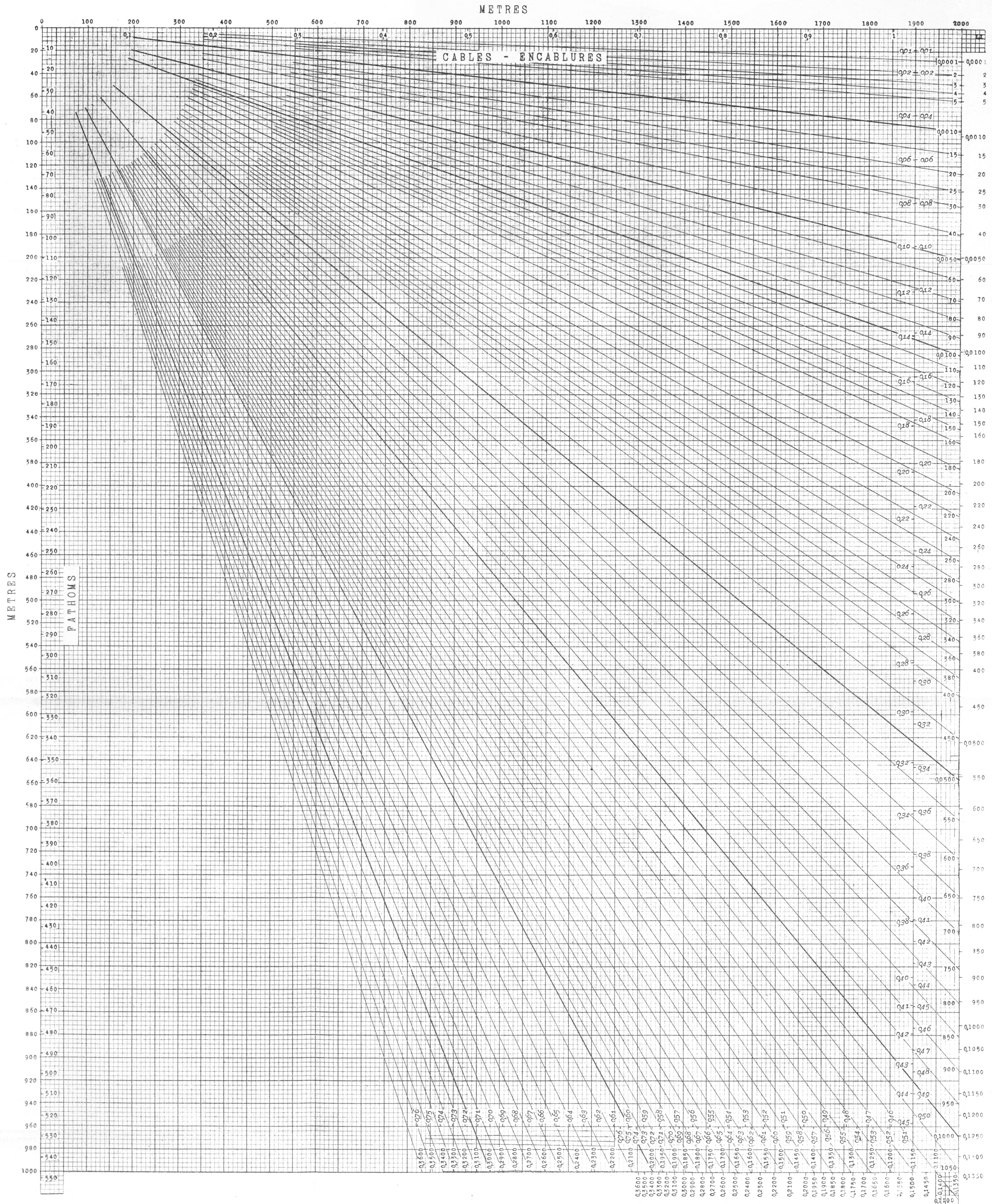
[Outer factor of each scale for true slope ; inner factor of each scale for a slope deduced from uncorrected echo soundings.]

SONDAGES par le SON. — Correction de Pente.

ABAQUE N° 3. (3^{me} méthode)

1^o) Echelle extérieure : Facteur pour correction *soustractive* de la sonde.
2^o) Echelle intérieure : Facteur pour déplacer la sonde vers les fonds décroissants.

[Facteur *extérieur* de chaque échelle pour une pente vraie ; facteur *intérieur* de chaque échelle pour une pente déduite de sondages par le son non corrigés.]



It would make for convenience to mount the diagrams on a sheet of cardboard and to pass a thread through the point of convergence of the lines of each diagram, to give substance to the line to be followed to obtain the required coefficient.

The frames of these diagrams are 40×50 centimetres in dimensions. The inner border of the third diagram is 38×48 centimetres. The scales adopted are $1/2000$ for the difference in depth of contour lines and $1/5000$ for their distance apart.

The numerical tables given herewith enable them to be constructed afresh.

